

ОПТИМАЛЬНЫЕ РЕЖИМЫ РЕЗАНИЯ ПРИ ТОНКОМ ТОЧЕНИИ НЕРЖАВЕЮЩЕЙ СТАЛИ

| Я. Х. Костюков |, А. К. Баев, В. Н. Верезуб

Задачи исследования

Процесс тонкого точения нержавеющей стали совершенно не изучен и в литературе по этому вопросу отсутствуют какие-либо данные. Между тем этот процесс ввиду его прогрессивности (успешно заменяет во многих случаях шлифование) и все более широкого применения нержавеющей стали в машиностроении требует к себе большого внимания.

Задачей настоящей работы являлось изучение процесса резания нержавеющей стали в условиях обработки ее точением тонкими стружками и получение данных, которые позволили бы обоснованно разработать для этого случая нормативы по режимам резания¹.

Материал, инструмент, оборудование

В качестве обрабатываемого материала была принята сталь марки ЭЖ3 ($\sigma_b = 85 \text{ кг}/\text{мм}^2$; $H_V = 241 \text{ кг}/\text{мм}^2$; $\delta = 12\%$; $\psi = 45\%$), поступавшая на станок в виде болванок диаметром 100 мм. Исследование проводилось на токарно-винторезном станке модели IA62, у которого в целях получения более высоких скоростей резания число оборотов было увеличено до 1850 об/мин.

Режущим инструментом являлись прямые резцы сечением $16 \times 25 \text{ мм}^2$, оснащенные твердым сплавом Ti5K6. Резцы тщательно затачивались, а затем притирались на чугунном притире карбидом бора зернистостью 180—220. Качество доводки резцов проверялось на инструментальном микроскопе. Радиус закругления вершины резца проверялся там же при помощи шаблона.

Измерение усилий резания производилось с помощью двухкомпонентного электроиндуктивного динамометра конструкции канд. технических наук А. К. Баева, а измерение неровностей — с помощью двойного микроскопа акад. Личника. Последний в целях удобства и большей точности замеров был приспособлен к суппорту станка так, что имелась возможность замерять качество поверхности в любом месте исследуемой поверхности. Микротвердость определялась прибором Хрущева ПМТ-3 при нагрузке в 50 г.

В процессе исследования износ резца определялся по задним граням при помощи микроскопа Бриннеля с 24-кратным увеличением; это давало возможность замерять износ с большой точностью.

¹ В работе принимал участие студент В. В. Балацкий.

Выбор оптимальной геометрии инструмента

Задача заключалась в том, чтобы подобрать такую геометрию резца, которая обеспечивала бы получение высокой чистоты обработанной поверхности (7-й и преимущественно 8-й класс чистоты поверхности) и одновременно достаточную стойкость резца. Исследовалось влияние φ_1 , γ , α и R . Вспомогательный угол в плане φ_1 изменялся в широком диапазоне от 30 до 0° . Наилучшие результаты показал угол $\varphi_1 = 1^\circ 30'$. Ввиду того, что нормативы разрабатывались для случая жесткой системы „Станок—инструмент—изделие“, был принят угол φ_1 , равный $1^\circ 30'$.

Передний угол изменялся в пределах $\gamma = -10^\circ \div 15^\circ$. Казалось бы, что при обработке данной твердой стали передний угол должен был иметь отрицательное значение.

Между тем опыты показали, что оптимальное значение переднего угла соответствует $\gamma = +5^\circ$.

Заднему углу α давались различные значения от 15° до 5° . Наилучшие результаты показал угол $\alpha = 7^\circ$. Радиус закругления вершины резца R принимался в диапазоне от $0,5$ до 2 мм. Оптимальное значение радиуса закругления оказалось $R = 1$ мм.

На основании этих

исследований была принята следующая геометрия резца (рис. 1).

$$\gamma = 5^\circ; \alpha = 7^\circ; \varphi = 45^\circ; \varphi_1 = 1,5^\circ; \lambda = 0; R = 1 \text{ мм.}$$

Таким резцом были проведены все последующие исследования.

Износ резца и критерий его затупления

Изучение износа резца показало, что последний происходит по задним граням и вершине резца. Здесь образуется фаска износа, которая на главной режущей кромке и при вершине резца имеет ширину несколько большую, чем на вспомогательной кромке.

Только при высоких скоростях резания и относительно больших подачах (например $V = 250$ м/мин и $S > 0,2$ мм/об) износ при вершине резца получает большее значение, чем на его кромках; в этом случае износ протекает вообще значительно интенсивнее.

Анализ кривых износа инструмента и кривых чистоты поверхности приводит к выводу, что чистота поверхности ухудшается с увеличением износа до $h = 0,25\text{--}0,3$ мм сначала быстро, затем медленнее при дальнейшем увеличении износа до $0,5$ мм чистота поверхности мало изменяется: при одних режимах несколько ухудшается, а в ряде случаев даже улучшается (рис. 2).

Если принять износ по задним граням $h = 0,5$ мм как предельный, то надежно обеспечивается 7-й и 8-й классы чистоты поверхности. Поэтому износ $h = 0,5$ мм нами выбран как критерий затупления резца.

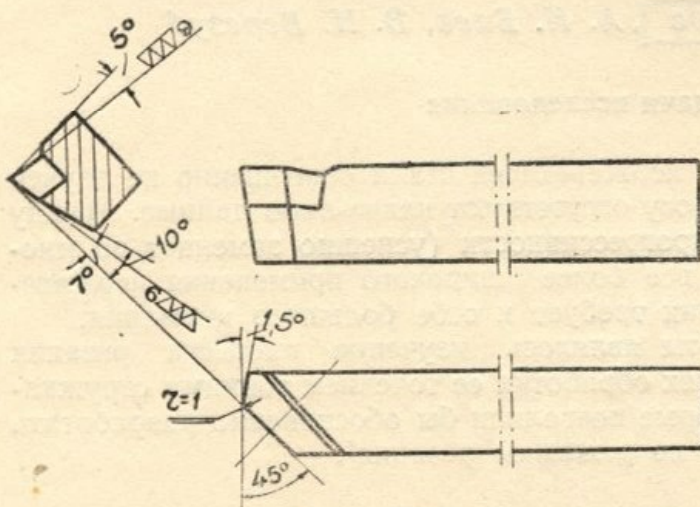


Рис. 1.

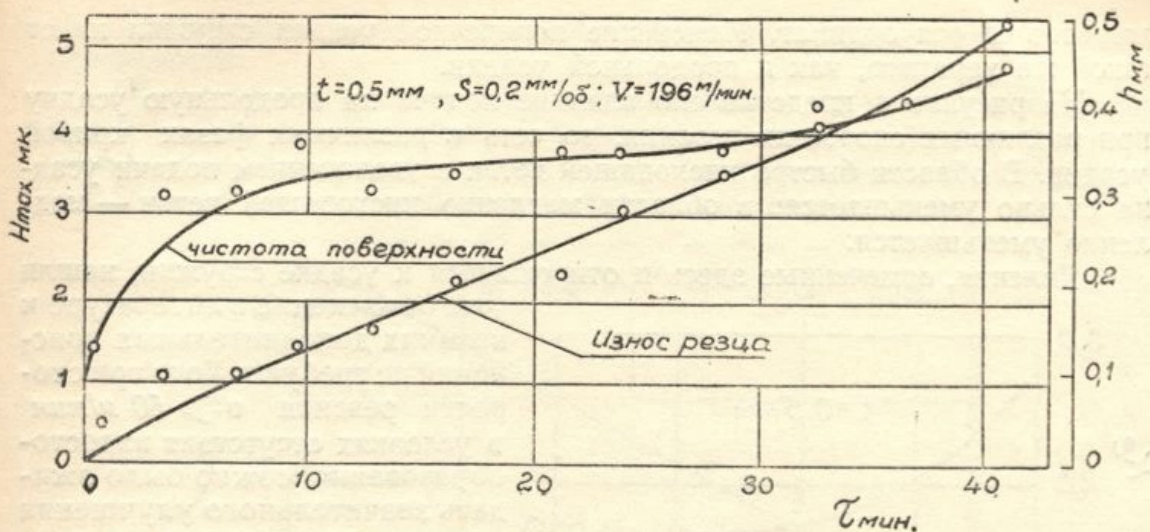


Рис. 2.

Деформация срезаемого слоя

Изучалась продольная и поперечная усадка стружки. Продольная усадка стружки измерялась весовым методом. Усадка исследовалась при $t = 0,5 \text{ мм}$, широком изменении подач ($s = 0,08 \div 0,5 \text{ мм}/\text{об}$) и широком изменении скоростей резания ($v = 6 \div 350 \text{ м}/\text{мин.}$).

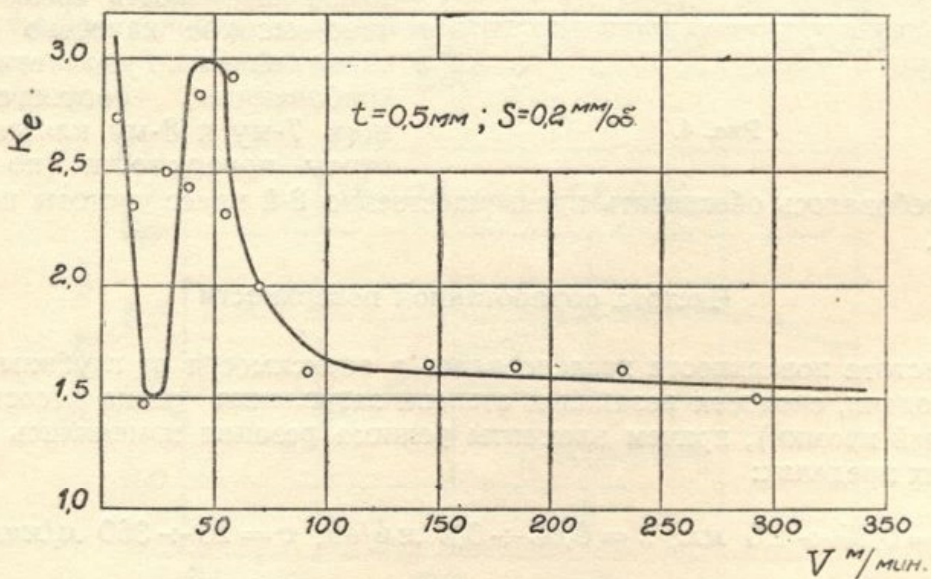


Рис. 3.

На рисунке 3 представлен график $K_e = f(v)$. Как видно, кривая усадки имеет четыре ветви. На первой ветви усадка резко падает, принимая наименьшее значение при $v = 25 \text{ м}/\text{мин.}$; на второй ветви она так же быстро возрастает, достигая максимального значения при $v = 50 \text{ м}/\text{мин.}$; на третьей ветви усадка быстро убывает до $v = 100 \text{ м}/\text{мин.}$. На четвертой ветви при $v > 100 \text{ м}/\text{мин.}$ она очень медленно уменьшается, принимая при $v = 300 \text{ м}/\text{мин.}$ практически постоянное наименьшее значение. Максимум усадки (вершина «горба») для всех подач в наших опытах располагается примерно на одной высоте, то есть имеет одно и то же значение. Однако чем меньше подача, тем дальше этот максимум распо-

лагается от оси ординат. Изменение поперечной усадки стружки имеет такой же характер, как и продольной усадки.

На рисунке 4 представлено влияние подачи на продольную усадку при различных скоростях резания, то есть в различных фазах кривой усадки. В области быстро нисходящей ветви с увеличением подачи усадка сильно уменьшается; в области медленно нисходящей ветви — медленно уменьшается.

Явления, отмеченные здесь и относящиеся к усадке стружки, нашли уже объяснение в литературе и никаких дополнительных пояснений не требуют. Хотя при скорости резания $v > 50 \text{ м/мин}$ в условиях отсутствия наростообразования можно было ожидать значительного улучшения чистоты поверхности, в действительности, вследствие еще высокого трения на задней грани резца, на обработанной поверхности все же имеют место еще довольно высокие шероховатости, бороздки и разрывы. Только при скорости резания $v = 100 \text{ м/мин}$ и выше поверхность среза получает высокое качество и начинает надежно удовлетворять требованиям, соответствующим 7-му и 8-му классам чистоты поверхности (по заданию требовалось обеспечить преимущественно 8-й класс чистоты поверхности).

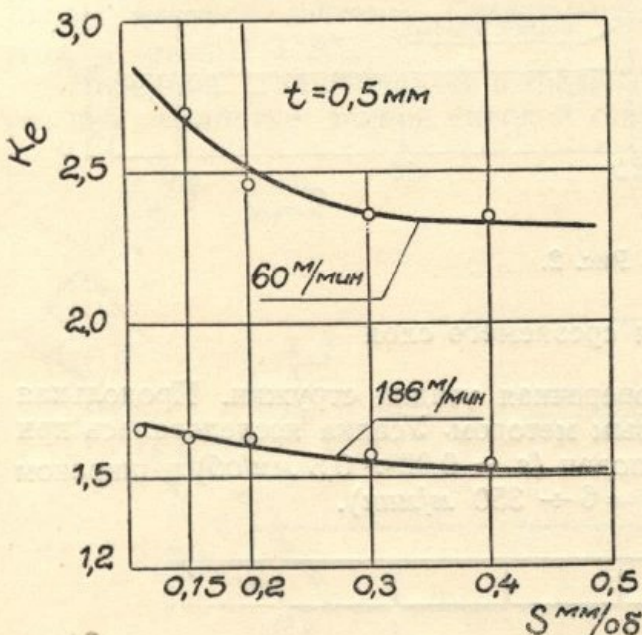


Рис. 4.

Чистота обработанной поверхности

Чистота поверхности исследовалась в зависимости от глубины резания, подачи, скорости резания и степени затупления резца (состояния режущей кромки), причем элементы режима резания изменялись в следующих пределах:

$$t = 0,25 \div 1,0 \text{ мм}; s = 0,08 \div 0,5 \text{ мм/об}; v = 20 \div 360 \text{ м/мин}.$$

Опыты показали, что глубина резания в вышеуказанных пределах практически не влияет на чистоту обработанной поверхности. Зависимость высоты неровности от скорости резания носит горбообразный характер.

На рисунке 5 для иллюстрации приведена одна из таких зависимостей. Максимальное значение высоты неровностей соответствует в данном случае скорости резания $v = 25 \text{ м/мин}$ и располагается вообще против точки на кривой $K_t = f(v)$, относящейся к минимальному значению усадки. Этим подтверждается мнение, справедливо высказанное А. Н. Ереминым [1] и отвергающее существующие в литературе представления о месте расположения максимума на кривой $K_t = f(v)$. Изменение скорости резания в пределах $50 \div 300 \text{ м/мин}$ (при $h=0,5 \text{ мм}$) весьма сильно влияет на чистоту обработанной поверхности.

Дальнейшее увеличение скорости уже мало отражается на чистоте поверхности.

На рисунке 6 представлено влияние подачи на чистоту поверхности при $h = 0,25 \text{ мм}$. Как видно, с увеличением подачи до $s = 0,3 \text{ мм/об}$ чистота поверхности ухудшается; дальнейшее увеличение подачи до $s = 0,5 \text{ мм/об}$ влечет улучшение качества поверхности.

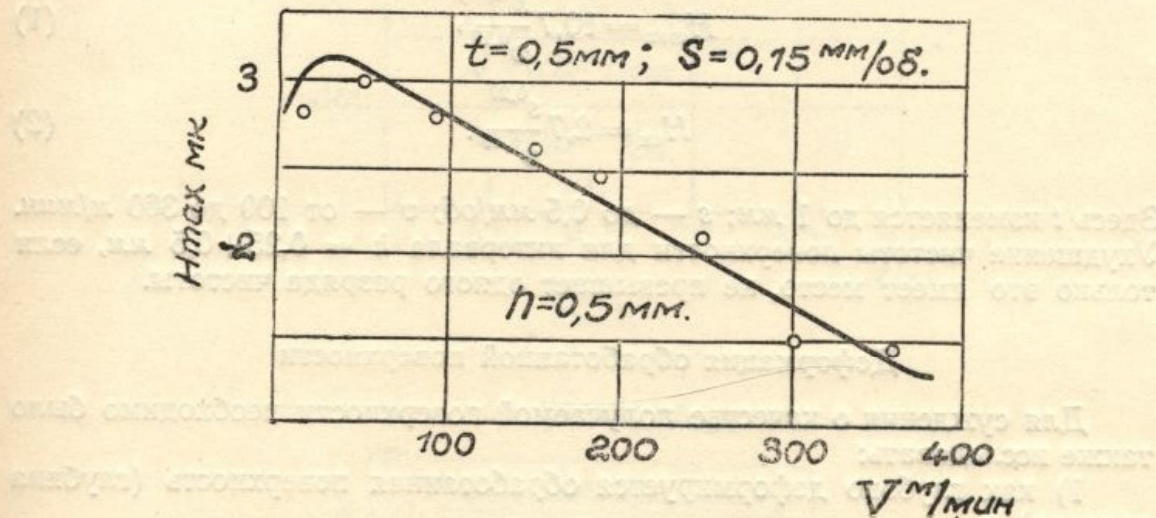


Рис. 5.

Таким образом, увеличение подачи не всегда вызывает ухудшение чистоты поверхности, а при известных условиях (скорость резания) способствует ее улучшению (это положение также высказано и обосновано в литературе).

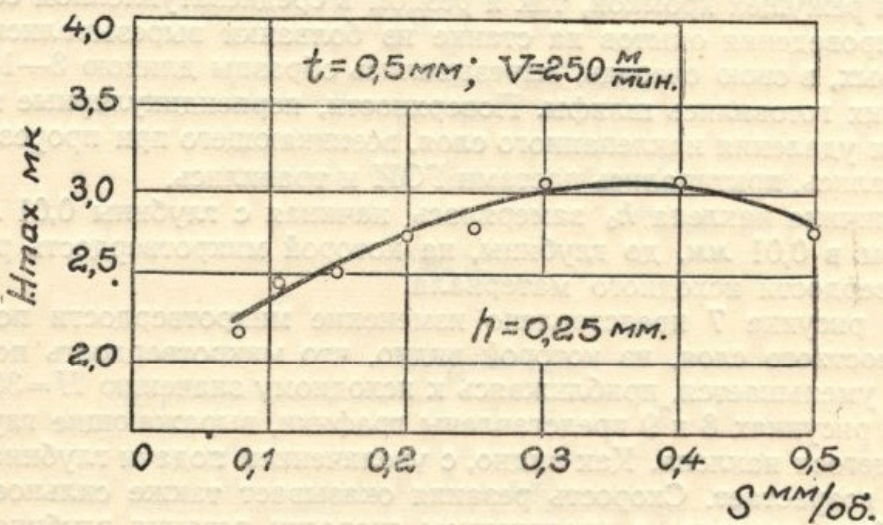


Рис. 6.

Наши исследования чистоты поверхности при тонком точении нержавеющей стали показали, что вопреки существующему мнению для получения наивысшей чистоты поверхности не обязательно работать с малыми подачами и глубиной резания, а принимая скорость резания $v > 100 \text{ м/мин}$, можно работать с глубиной резания до 1 мм и с подачей до 0,5 мм включительно.

Если расположить результаты исследования в логарифмических координатах, отнести их к среднему затуплению резца (ширина фаски износа $h = 0,25 \text{ мм}$), то несмотря на некоторый разброс точек, можно ре-

зультаты опытов обработать, представив шероховатость в виде $H = f(s, v)$. Выше указывалось, почему именно принимается среднезатупленное состояние резца.

В результате обработки опытных данных нами получено следующее уравнение, определяющее наибольшую высоту неровности.

$$H_{\max} = 10,7 \frac{s^{0,27}}{v^{0,17}}, \quad (1)$$

$$H_{\text{ск}} = 2,7 \frac{s^{0,27}}{v^{0,17}}. \quad (2)$$

Здесь t изменяется до 1 мм ; s — до 0,5 $\text{мм}/\text{об}$; v — от 100 до 360 $\text{м}/\text{мин}$. Ухудшение чистоты поверхности для интервала $h = 0,25+0,5 \text{ мм}$, если только это имеет место, не превышает одного разряда чистоты.

Деформация обработанной поверхности

Для суждения о качестве получаемой поверхности необходимо было также исследовать:

- 1) как глубоко деформируется обработанная поверхность (глубина наклепа) и
- 2) какова степень наклена получаемого верхнего слоя поверхности. Для этой цели на обрабатываемой болванке прорезались ребра шириной 3—4 мм .

При проведении опытов глубина резания оставалась неизменной и составляла $t = 0,5 \text{ мм}$. Подача изменялась от 0,11 до 0,6 $\text{мм}/\text{об}$, скорость резания от 50 до 546 $\text{м}/\text{мин}$. Обработка производилась резцом как с острой режущей кромкой, так и резцом в среднезатупленном состоянии. После проведения опытов на станке из болванки вырезывались кольца, из которых, в свою очередь, вырезывались образцы длиною 8—10 мм . Из последних готовились шлифы. Поверхности, перпендикулярные исследуемой, для удаления наклеченного слоя, возникающего при прорезке ребер, шлифовались, притирались пастами ГОИ и травились.

Величина наклена h_0 замерялась, начиная с глубины 0,01 мм , с интервалом в 0,01 мм , до глубины, на которой микротвердость равнялась микротвердости исходного материала.

На рисунке 7 представлено изменение микротвердости по глубине поверхностного слоя, из которой видно, что микротвердость по глубине плавно уменьшается, приближаясь к исходному значению $H = 300 \text{ кг}/\text{мм}^2$.

На рисунках 8 и 9 представлены графики, выражающие глубину получающегося наклена. Как видно, с увеличением подачи глубина наклена сильно возрастает. Скорость резания оказывает также сильное влияние на глубину наклена: с увеличением скорости резания глубина наклена резко уменьшается; однако (при $t = 0,5 \text{ мм}$ и $s = 0,2 \text{ мм}/\text{об}$) только до $v = 350 \text{ м}/\text{мин}$, после чего остается неизменной. Таково же влияние этих факторов и на степень наклена верхнего слоя поверхности (рис. 10 и 11). Затупление режущей кромки повышает как глубину наклена, так и степень его; однако это влияние с увеличением скорости резания уменьшается. В рассматриваемом случае, начиная со скорости резания $v = 350 \text{ м}/\text{мин}$, получаются одни и те же результаты независимо от того, производится ли обработка острым или затупленным резцом. По-видимому, это следует объяснить тем, что, хотя при затупленной кромке получаются более высокие внутренние напряжения и распространяются они более глубоко, чем при острой кромке, однако вследствие более высокой

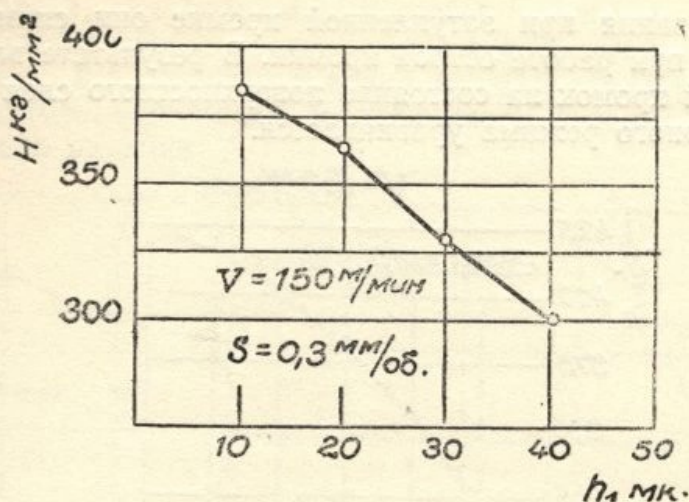


Рис. 7.

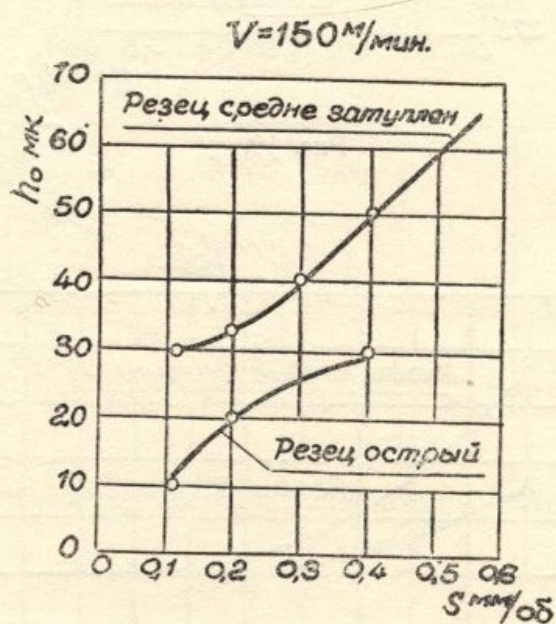


Рис. 8.

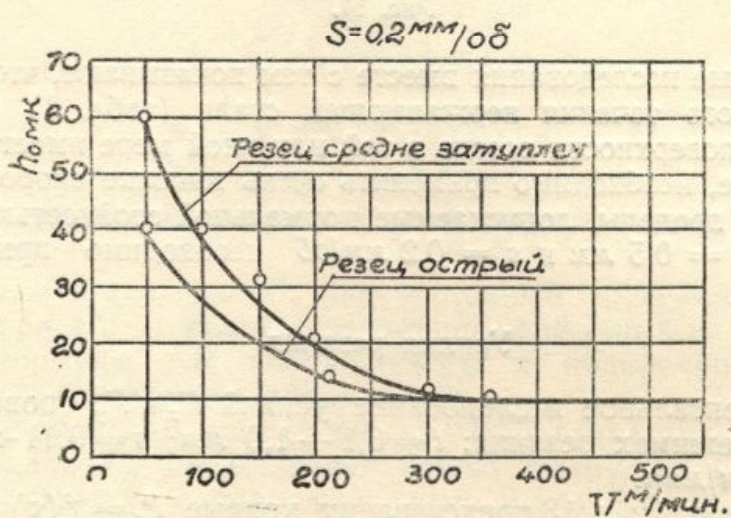


Рис. 9.

температуры резания при затупленной кромке они снимаются более интенсивно, чем при работе острой кромки. В результате влияние затупленной и острой кромок на состояние поверхностного слоя с определенного температурного режима уравнивается.

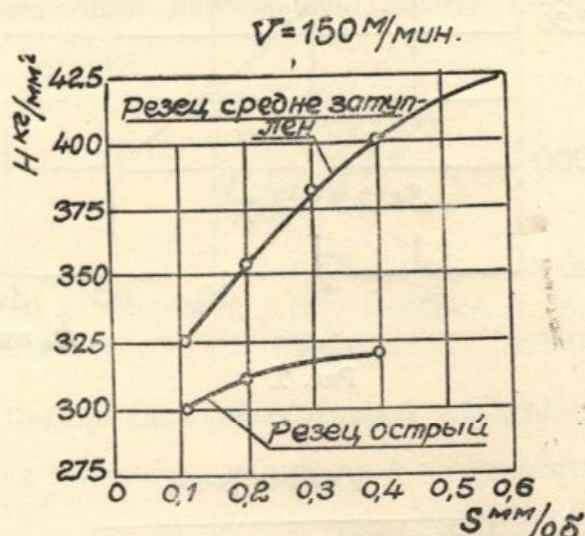


Рис. 10.

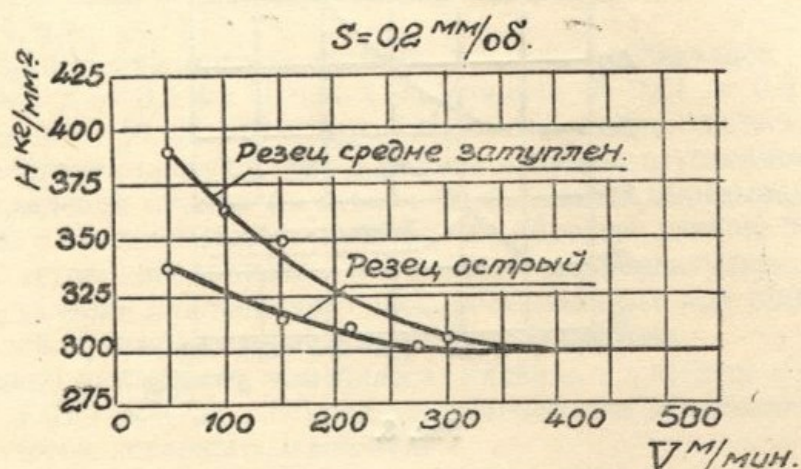


Рис. 11.

Проведенные исследования вместе с тем показывают, что в обычных условиях тонкого течения нержавеющей стали (табл. 1) деформация обработанной поверхности всегда в той или иной мере имеет место. Чтобы избежать ее, необходимо применять очень высокие скорости резания, выходящие за пределы, допускаемые нормальной стойкостью резца. Например, при $t = 0,5 \text{ мм}$ и $s = 0,2 \text{ мм/об}$ необходимо принимать $v = 350 \text{ м/мин}$.

Усилия резания

Экспериментальное исследование усилий P_z и P_y проводилось при следующих режимах резания: $t = 0,1 \div 1,0 \text{ мм}$; $s = 0,11 \div 0,5 \text{ мм/об}$; $v = 20 \div 360 \text{ м/мин}$.

На рисунках 12 и 13 представлены кривые $P_z = f(v)$ и $P_y = f(v)$. Как те, так и другие, в соответствии с кривыми усадки, имеют горбообразный характер. Более резко „горб“ выражен на кривых $P_y = f(v)$.

Чем больше подача, тем больше сдвигается „горб“ влево, в область меньших скоростей резания. Кривые после $v \geq 50$ м/мин имеют ниспадающий характер. До скорости резания $v = 180$ м/мин усилия P_z и P_y изменяются ощутительно, после чего скорость резания оказывает на них величину мало влияния.

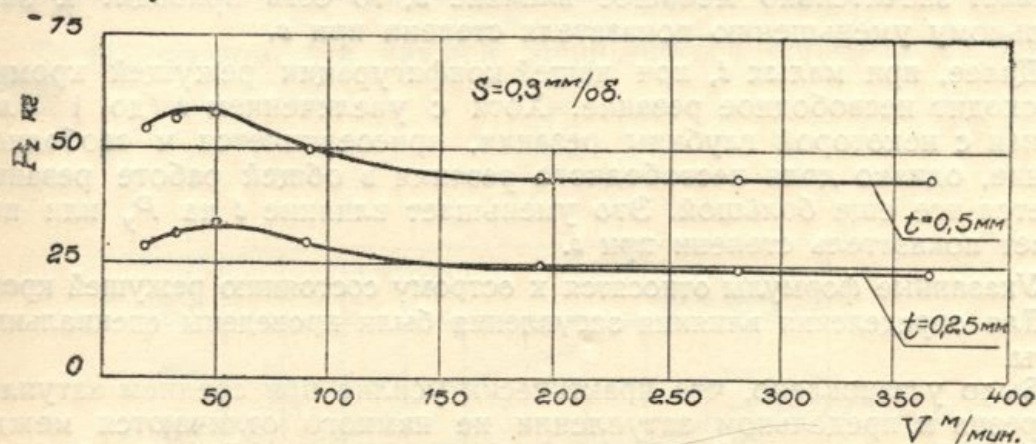


Рис. 12.

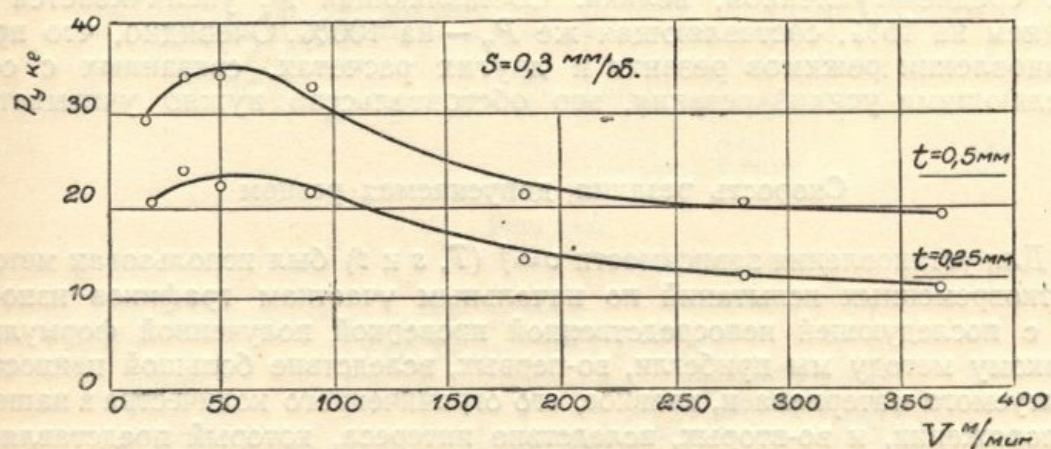


Рис. 13.

В результате математической обработки опытных данных получены следующие формулы для P_z и P_y .

$$P_z = 247 t^{0.85} s^{0.72} \left(\frac{50}{v} \right)^{0.18} \quad (3)$$

$$P_y = 87 t^{0.6} s^{0.47} \left(\frac{50}{v} \right)^{0.18} \quad (4)$$

Формулы справедливы при $v \geq 50$ м/мин; t — до 1 мм; s — до 0,5 мм/об.

Как видим, формула для P_y (по численным значениям показателей степеней при t и s) имеет совершенно необычный вид, резко отличаясь от формулы для получистового и обдирочного резания. Объясняется это следующим образом.

При малом переднем угле (у нас $\gamma = +5^\circ$) радиальная составляющая силы резания P_y представляет собою сумму двух слагаемых: силы трения F стружки о переднюю грань резца и силы давления Q на режущую кромку резца со стороны обрабатываемой поверхности. Хотя последняя сила невелика, однако при малых t и s , когда F

получает небольшие значения, ее удельный вес в величине силы P_y , учитывая еще и наличие радиуса при вершине резца, получается очень большим. Это и приводит к тому, что увеличение s в пределах значений, применяемых при тонком точении, при одном и том же t вызывает значительно меньшее влияние s , то есть приводит к значительному уменьшению показателя степени при s .

Далее, при малых t , при нашей конфигурации режущей кромки происходит несвободное резание. Хотя с увеличением t (до 1 мм), начиная с некоторой глубины резания, присоединяется и свободное резание, однако доля несвободного резания в общей работе резания остается все еще большой. Это уменьшает влияние t на P_y или понижает показатель степени при t .

Указанные формулы относятся к острому состоянию режущей кромки. Для определения влияния затупления были проведены специальные опыты.

Было установлено, что практически усилия при среднем затуплении резца и предельном затуплении не намного отличаются между собой. Так, в среднем P_z увеличивается при этом на 5%, P_y — на 25%. Разница же между усилиями, относящимися к острой режущей кромке и к среднезатупленной, велика. Составляющая P_z увеличивается в среднем на 15%, составляющая же P_y — на 100%. Очевидно, что при установлении режимов резания и других расчетах, связанных с составляющими усилий резания, это обстоятельство нужно учитывать.

Скорость резания, допускаемая резцом

Для установления зависимости $v = f(T, s \text{ и } t)$ был использован метод кратковременных испытаний по начальным участкам графиков износа [2] с последующей непосредственной проверкой полученной формулы. К такому методу мы прибегли, во-первых, вследствие большой ценности испытуемого материала и, главное, его ограниченного количества в нашем распоряжении, и во-вторых, вследствие интереса, который представляет этот метод по значительной экономии затрачиваемого времени и по точности получаемых результатов.

Испытания проводились в следующей последовательности.

Было заготовлено четыре резца установленной оптимальной геометрии. Резцы были протарированы по скорости резания, дабы быть уверенными в идентичности их режущих способностей.

Было проведено 4 серии кратковременных опытов: при $t = 0,25 \text{ мм}$ и $s = 0,1; 0,15; 0,2 \text{ и } 0,3 \text{ мм/об}$.

В каждой серии принимались 3—4 различные скорости резания, причем одна скорость выбиралась с таким расчетом, чтобы стойкость резца при предельном износе $h = 0,5 \text{ мм}$ составляла 7—8 минут. На рисунке 14а для примера представлен полученный график; величина износа фиксировалась через каждые 1—2 минуты.

На каждом графике износа проводилось несколько горизонтальных линий (у нас 2—4) так, чтобы они пересекали кривые износа в точках, соответствующих различным продолжительностям резания τ . Определив для каждой горизонтали (каждого промежуточного износа) и каждой скорости величину интенсивности износа $\frac{h}{\tau}$, строились в

логарифмических координатах зависимости $v = f\left(\frac{h}{\tau}\right)$; откладывались

по оси абсцисс значения $\frac{h}{\tau} \text{ мк/мин}$, а по оси ордината значения $v \text{ м/мин}$ (рис. 14б). Показатель относительной стойкости m определялся как среднее значение тангенса угла наклона линий $v = f\left(\frac{h}{\tau}\right)$ к оси абсцисс.

Таким образом, для каждой серии опытов определялись зависимости:

$$v = \frac{C_1}{T^m}. \quad (5)$$

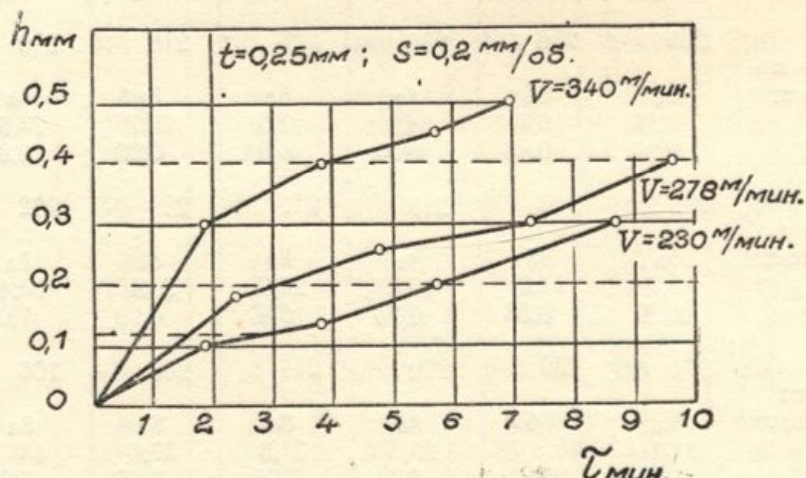


Рис. 14а.

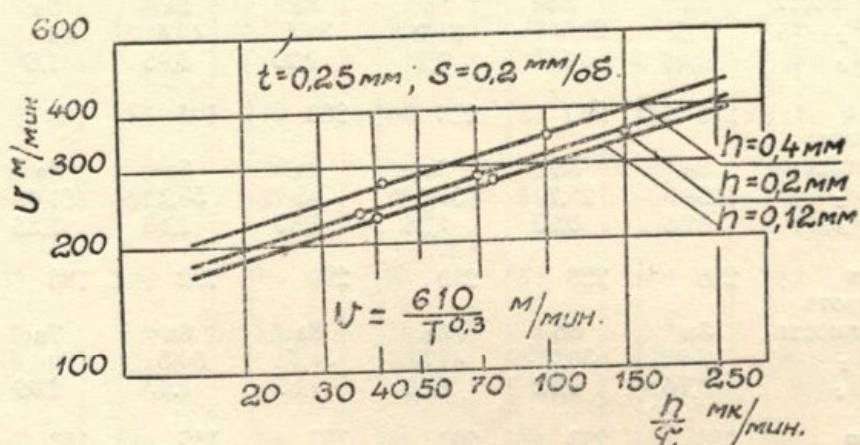


Рис. 14б.

Численное значение C_1 легко устанавливалось из графика, соответствующего наибольшей скорости, поскольку из этого графика известными были v , T и m . Приняв $m = 0,3$ и имея значения C_1 для каждой из принятых подач, легко определить зависимость $C_1 = f_1(s)$ (рис. 15).

В результате обработки первых четырех серий опытов получено следующее уравнение:

$$v = \frac{C}{T^{0,3} s^{0,18}} \text{ м/мин.}$$

Для определения влияния глубины резания было проведено еще 2 серии кратковременных опытов: при $s = 0,1 \text{ мм/об}$ и $t = 0,5 \text{ мм}$ и

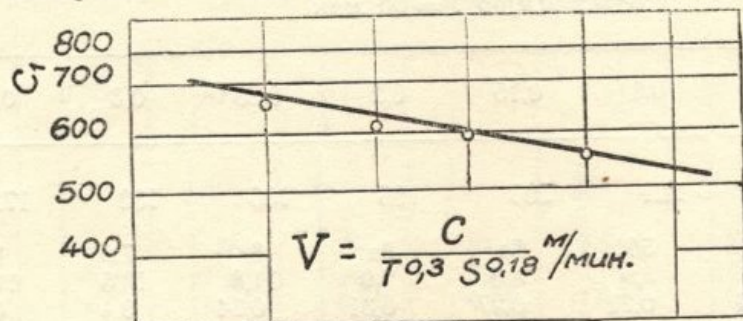
Глубина резания <i>мм</i>	<i>v</i> м/мин чистота поверхности <i>P_z</i> кг <i>N_e</i> квт	Подача <i>мм/об</i> <i>T=30</i> мин						
		0,05	0,1	0,15	0,2	0,25	0,3	0,4
0,1	<i>v</i>	312	275	255	243	233	226	214
	Чистота поверхности	8в 3,35 <i>N_e</i>	86 5,8 0,26	8а 7,7 0,32	8а 9,5 0,37	8а 11,3 0,42	8а 12,9 0,47	7в 16,1 0,56
	<i>P_z</i>	0,17						
0,2	<i>v</i>	290	256	238	226	218	210	200
	Чистота поверхности	8в 6,16 <i>N_e</i>	86 10,3 0,43	8а 14,3 0,55	8а 17,5 0,64	8а 20,7 0,73	8а 23,8 0,8	7в 29,4 0,95
	<i>P_z</i>	0,28						
0,3	<i>v</i>	279	246	229	217	209	202	192
	Чистота поверхности	8в 8,7 <i>N_e</i>	86 14,7 0,58	8а 19,8 0,73	8а 24,7 0,87	8а 29,4 0,99	8а 33,4 1,08	7в 1,6 1,29
	<i>P_z</i>	0,39						
0,4	<i>v</i>	271	239	222	211	203	196	186
	Чистота поверхности	8в 11,4 <i>N_e</i>	86 18,8 0,82	8а 25,6 0,92	8а 31,8 10,8	8а 37,4 1,23	8а 43 1,36	7в 54,8 1,62
	<i>P_z</i>	0,5						
0,5	<i>v</i>	265	234	218	207	198	192	182
	Чистота поверхности	8в 13,5 <i>N_e</i>	86 22,9 0,86	8а 31,2 1,1	8а 38,5 1,29	8а 45,4 1,45	8а 52 1,6	7в 65 1,91
	<i>P_z</i>	0,58						
0,6	<i>v</i>	260	230	214	203	195	188	179
	Чистота поверхности	8в 159 <i>N_e</i>	86 26,7 0,99	8а 36,1 1,26	8а 45 1,47	8а 53,3 1,68	8а 61,4 1,86	7в 76 2,19
	<i>P_z</i>	0,66						
0,7	<i>v</i>	256	226	210	200	192	186	176
	Чистота поверхности	8в 17,8 <i>N_e</i>	86 30,7 1,12	8а 41,5 1,42	8а 51,7 1,67	8а 60,5 1,87	7в 70 2,09	7в 88 2,51
	<i>P_z</i>	0,74						
0,8	<i>v</i>	253	223	207	197	189	183	174
	Чистота поверхности	8в 20,4 <i>N_e</i>	86 34,4 1,24	8а 46,8 1,56	8а 57,8 1,84	8а 68,4 2,09	7в 78,5 2,22	7в 97,5 1,74
	<i>P_z</i>	0,83						
0,9	<i>v</i>	250	221	205	195	187	181	172
	Чистота поверхности	8в 22,6 <i>N_e</i>	86 37,9 1,35	8а 51,5 1,71	8а 64 2	8а 75,7 2,29	7в 86,7 2,54	7в 110 3,05
	<i>P_z</i>	0,91						
1,0	<i>v</i>	247	218	203	193	185	179	170
	Чистота поверхности	8в 24,7 <i>N_e</i>	86 42 1,47	8а 54,4 1,77	8а 70 2,16	8а 82,7 2,47	7в 95 2,75	7в 118 3,25
	<i>P_z</i>	1,0						

Таблица 1

Подача мм/об $T = 60 \text{ мин}$

0,5	0,05	0,1	0,15	0,2	0,25	0,3	0,4	0,5
206	251	221	205	195	188	182	172	166
7 _B 18,9 0,63	8 _B 3,5 0,14	86 5,9 0,21	8a 8,0 0,27	8a 9,9 0,31	8a 11,8 0,34	7 _B 13,5 0,4	7 _B 16,7 0,46	7 _B 23,3 0,62
192	234	206	191	182	175	169	161	154
7 _B 34,8 1,08	8 _B 6,4 0,24	86 10,8 0,36	8a 14,7 0,45	8a 18,2 0,53	8a 21,5 0,61	7 _B 25,7 0,7	7 _B 31,9 0,83	7 _B 36,2 0,9
184	225	198	184	174	168	162	154	148
7 _B 49 1,46	8 _B 9,1 0,33	86 15,2 0,49	8a 20,8 0,62	8a 25,7 0,72	8a 30,4 0,82	7 _B 35 0,92	7 _B 43,5 1,09	7 _B 51,5 1,23
179	218	192	178	170	163	158	150	144
7 _B 63,4 1,83	8 _B 11,4 0,4	86 19,5 0,61	8a 26,6 0,77	8a 33 0,91	8a 39 1,03	7 _B 44,8 1,14	7 _B 55,8 1,35	7 _B 66,1 1,53
175	213	188	175	167	159	154	146	141
7 _B 76,8 2,17	8 _B 14 0,47	86 23,7 0,72	8a 32,2 0,91	8a 39,9 1,08	8a 47,2 1,21	7 _B 53,2 1,35	7 _B 67,6 1,6	7 _B 80,4 1,82
172	209	185	172	163	157	152	144	138
7 _B 90 2,47	8 _B 16,5 0,56	86 27,7 0,83	8a 37,9 1,05	8a 46,8 1,24	8a 55,5 1,39	7 _B 63,8 1,57	7 _B 79,5 1,83	7 _B 94 2,1
169	206	182	169	161	154	150	142	136
7 _B 102 2,8	8 _B 18,9 0,63	86 31,7 0,93	8a 43 1,17	8a 53,6 1,39	8a 63,3 1,58	7 _B 73 1,77	7 _B 90,8 2,08	7 _B 107,8 2,37
167	203	179	166	158	152	147	140	134
7 _B 118 3,1	8 _B 21,2 0,7	86 35,6 1,04	8a 48,8 1,31	8a 60,3 1,54	8a 71,3 1,75	7 _B 81,2 1,95	7 _B 102 2,3	7 _B 121 2,62
167	201	178	165	157	150	146	138	133
7 _B 128 3,44	8 _B 23,5 0,76	86 39,4 1,13	8a 53,9 1,43	8a 66,6 1,68	8a 78,8 1,92	7 _B 90,4 2,13	7 _B 113 2,52	7 _B 133 2,8
163	198	175	163	155	149	144	137	131
7 _B 133 3,5	8 _B 25,8 0,83	86 43,2 1,22	8a 59 1,55	8a 73,2 1,83	8a 86,5 2,08	7 _B 99,6 2,32	7 _B 123,5 7,72	7 _B 146,2 3,09

$t = 0,75 \text{ мм}$; (данные, относящиеся к $s = 0,1 \text{ мм/об}$ и $t = 0,25 \text{ мм}$, были взяты из предыдущих опытов).



(2)

Рис. 15.

Обработав результаты опытов так, как и в предыдущем случае (рис. 15), получаем для каждой серии опытов зависимость

$$v = \frac{C_2}{T^m}.$$

И здесь m может быть принято, как и в предыдущем случае, равным 0,3.

Зная m и имея для каждой принятой глубины резания C_2 , можно определить зависимость C_2 от t (рис. 16).

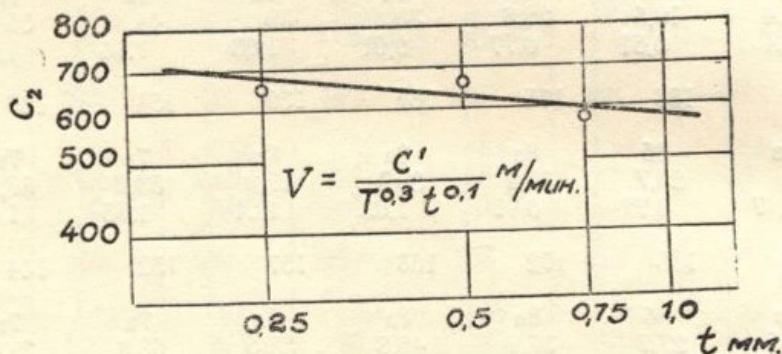


Рис. 16.

В результате получено следующее уравнение:

$$v = \frac{C'}{T^{0.3} \cdot t^{0.1}} \text{ м/мин.}$$

Таким образом,

$$v = \frac{C_v}{T^{0.3} t^{0.1} s^{0.18}} \text{ м/мин.}$$

Определяя C_v из опытов, относящихся к наивысшим скоростям резания (значения T , t , s и v для этих шести скоростей известны), и принимая среднее значение C_v (эти значения близко совпадают), получаем окончательно:

$$v = \frac{398}{T^{0.3} t^{0.1} s^{0.18}} \text{ м/мин} \quad (6)$$

$$\text{при } T=60 \text{ мин. } v_{60} = \frac{116}{t^{0.1} s^{0.18}} \text{ м/мин.} \quad (7)$$

Проверка значений v из формулы (6), полученных при кратковременных испытаниях, с результатами, полученными из стойкостных испытаний, при которых инструмент доводился до предельного износа, показала, что расхождения получаются весьма малыми, не превышающими 5%.

Например, на рисунке 2 представлена кривая износа резца при $t = 0,5 \text{ мм}$; $s = 0,2 \text{ мм/об}$ и $T = 42,1 \text{ мин}$. Скорость резания составляла при этом 196 м/мин.

Если определить допускаемую при этих условиях скорость резания по формуле (6), то получается $v = 187 \text{ м/мин}$, что на 4,6% ниже вышеуказанной. Формула (6) типична для тонких стружек и твердосплавных резцов. Показатель степени при подаче соответствует имеющимся литературным данным, показатель степени при глубине резания имеет ческолько пониженное значение. Последнее объясняется конфигурацией контура лезвия резца. Всякое увеличение глубины резания влечет за собой большее увеличение длины линии соприкосновения резца со стружкой (у нас $r = 1 \text{ мм}$; $\varphi_1 = 1,5^\circ$; $t \ll 1 \text{ мм}$), и хотя усилие резания вследствие уменьшения толщины и увеличения ширины стружки возрастает при этом, давление, приходящееся на единицу длины кривой соприкосновения лезвия резца и обрабатываемого изделия, уменьшается. Последнее уменьшает износ резца и влияние t на скорость, допускаемую резцом.

Режимы резания

В таблице представлены разработанные режимы резания для тонкого продольного точения нержавеющей стали ЭЖЗ. Она составлена по формулам (2, 3 и 7), исходя из стойкости резца $T = 60 \text{ мин}$ и $T = 30 \text{ мин}$. Пользование таблицей просто. Зная припуск на обработку и потребную чистоту обработанной поверхности, выбираем по таблице подачу и скорость резания; подачу согласовываем со степенью жесткости системы, а потребный крутящий момент — с располагаемым моментом на выбранной ступени станка.

Настоящее исследование выполнено в лаборатории резания Харьковского авиационного института в содружестве с Харьковским заводом транспортного машиностроения.

ЛИТЕРАТУРА

1. А. Н. Еремин. Физическая сущность явлений при резании стали, Машгиз, 1951.
2. И. М. Беспрованный. Установление режимов резания на основе определения постепенности износа режущей кромки инструмента, Труды МВТУ им. Н. Э. Баумана, сб. «Резание металлов», № 12, Машгиз, 1951.